

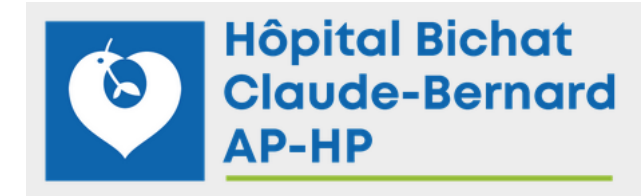
Journées



Intérêt du contrôle des ACSOS dans le Délirium de réanimation



Michaël Thy
MIR Bichat
30/11/2023



Déclaration d'intérêts

- **Intérêts financiers : 0**
- **Liens durables ou permanents : 0**
- **Interventions ponctuelles : 0**
- **Intérêts indirects : 0**

Confusion mentale (= « delirium » des Anglo-Saxons)

Tableau I. Critères diagnostiques du delirium (confusion mentale) selon le manuel diagnostique et statistique dans sa 5^eversion (DSM-5) en français, d'après [1]

A.Trouble de l'attention et de la conscience de l'environnement

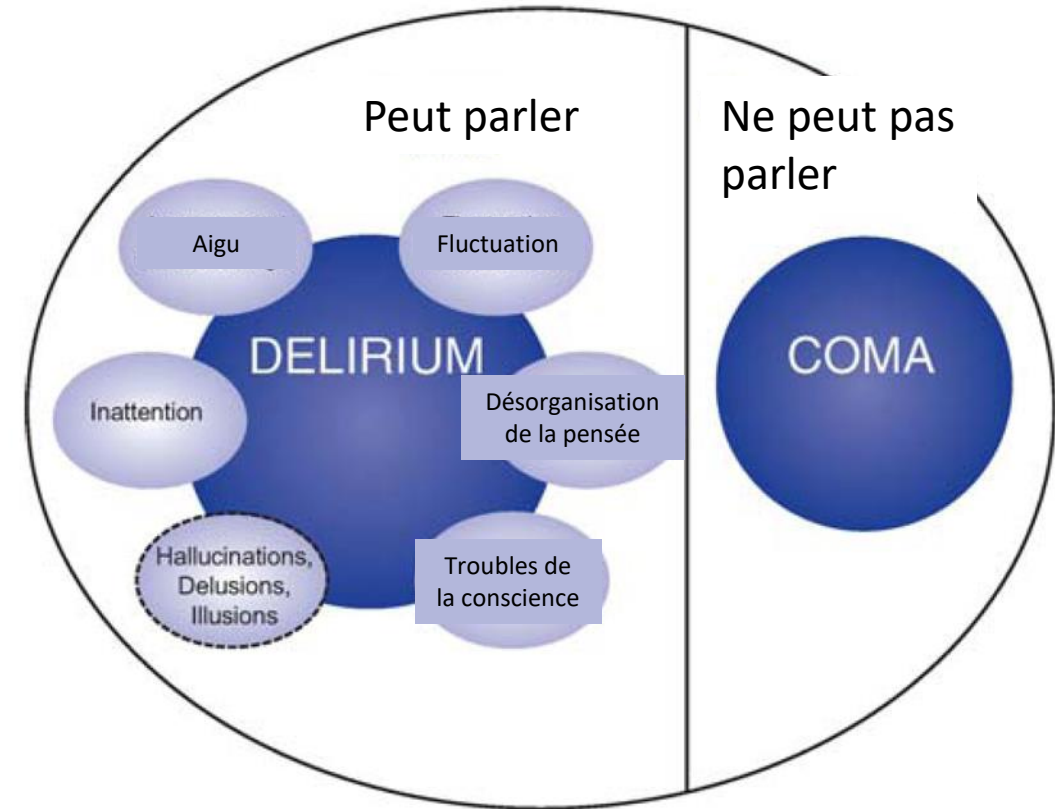
B.Apparaît en peu de temps (heures, jours), tend à fluctuer

C.Au moins une autre dysfonction cognitive (langage, mémoire, orientation, perception, représentation visuospatiale)

D.A. et C.ne sont expliqués ni par un processus neurodégénératif (démence), ni par un trouble profond de la vigilance (coma)

E.Anamnèse, examens physiques et complémentaires retrouvant une ou plusieurs causes organiques

Trouble cognitif d'apparition aiguë,
déterminé par des processus pathologiques organiques,
et qui n'est **ni un processus démentiel dégénératif, ni un coma**



Morandi et al., ICM 2008

Attention :
« delirium » ≠ « délire »

DELIRIUM

HYPERACTIF

Agitation
Discours incohérent
Bagarre avec le personnel
Insomnie
Délires
Hallucinations

HYPOACTIF

Obnubilation
Troubles de la vigilance
Calmé
Apathie
Interaction limitée

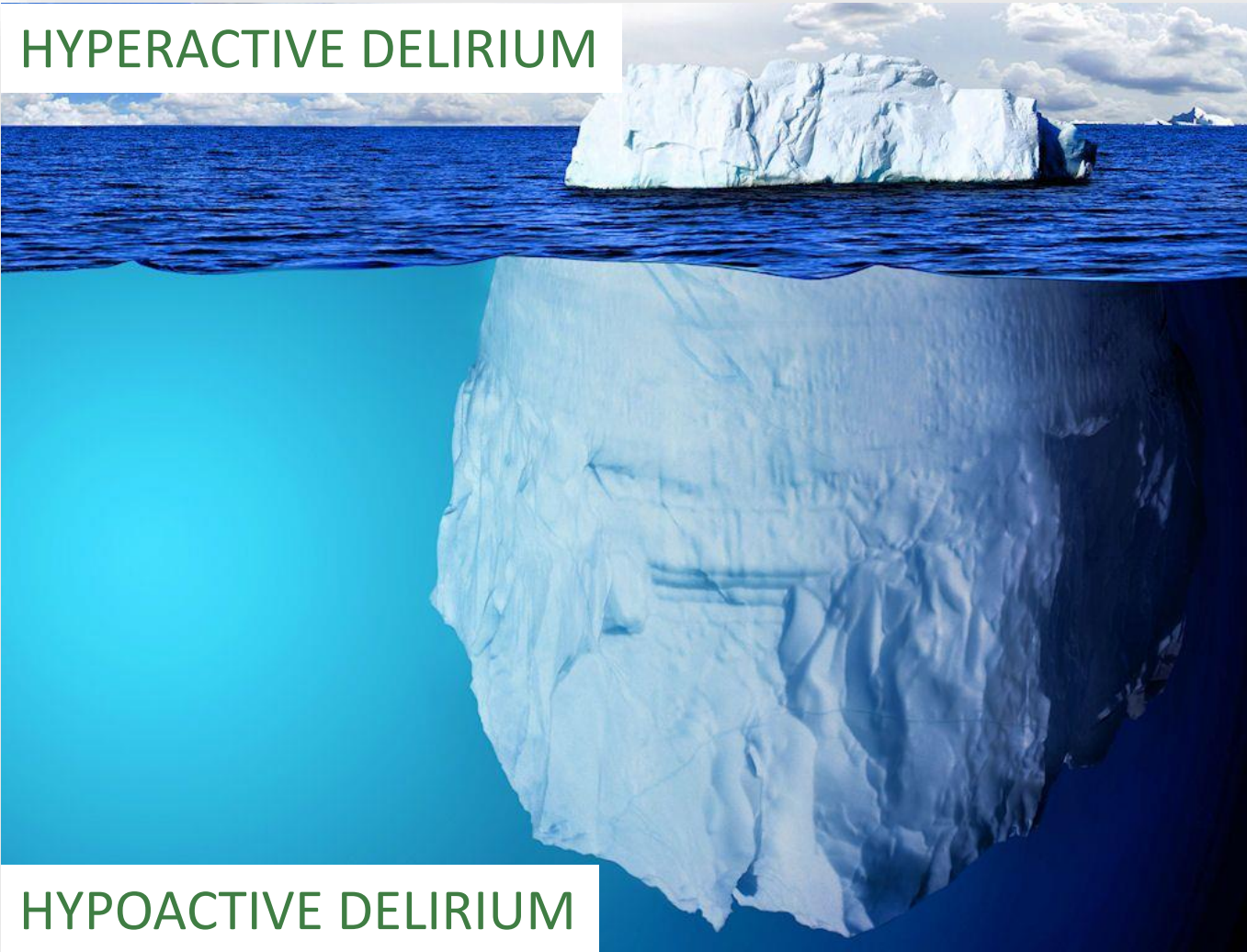
+/- myoclonies, asterixis

PAS DE DEFICIT FOCAL

Signes neurovégétatifs : Hypertension, tachycardie, transpiration ...

Delirium en réanimation

HYPERACTIVE DELIRIUM



HYPOACTIVE DELIRIUM

Diagnostic

- Etat de conscience (Glasgow coma scale/RASS)
- Confusion Assessment Method for the ICU (CAM-ICU)
- Intensive Care Delirium Screening Check-list (ICDSC)

Epidémiologie

RESEARCH

OPEN ACCESS

CrossMark

Outcomes of delirium in critically ill patients: systematic review and meta-analysis

Jorge I F Salluh,¹ Han Wang,² Eric B Schneider,² Neeraja Nagaraja,² Gayane Yenokyan,³ Abdulla Damluji,⁴ Rodrigo B Serafim,^{1,5} Robert D Stevens⁶

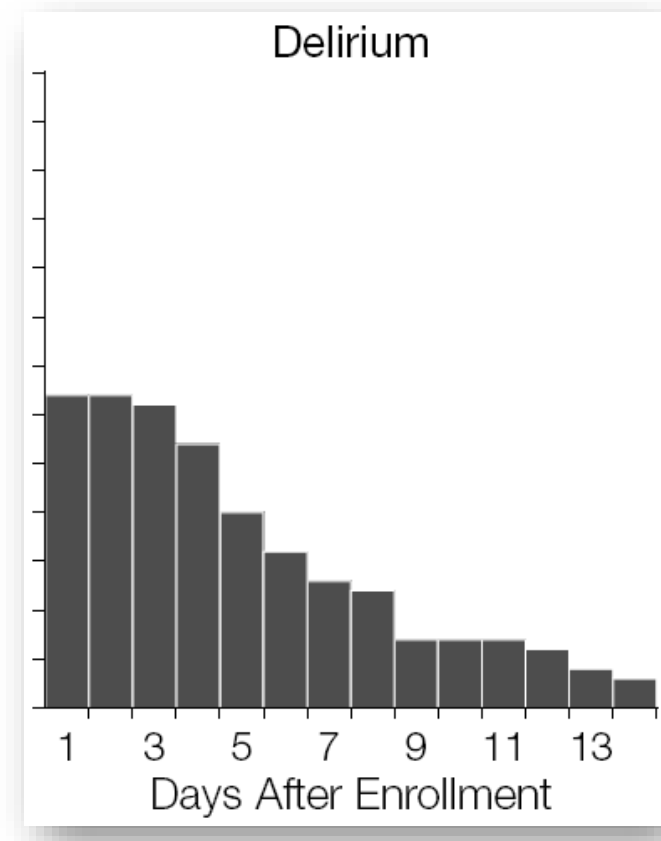
BMJ 2015

Delirium was identified in 5280 of 16 595 (31.8%) critically ill patients reported in 42 studies.



Miranda et al. 2023

Ranged from 12.5% to 83.9%



Onset : 2,6 (+/- 1,7) days after admission

Duration : 3,4 (+/- 1,9) days

Delirium as a Predictor of Mortality in Mechanically Ventilated Patients in the Intensive Care Unit

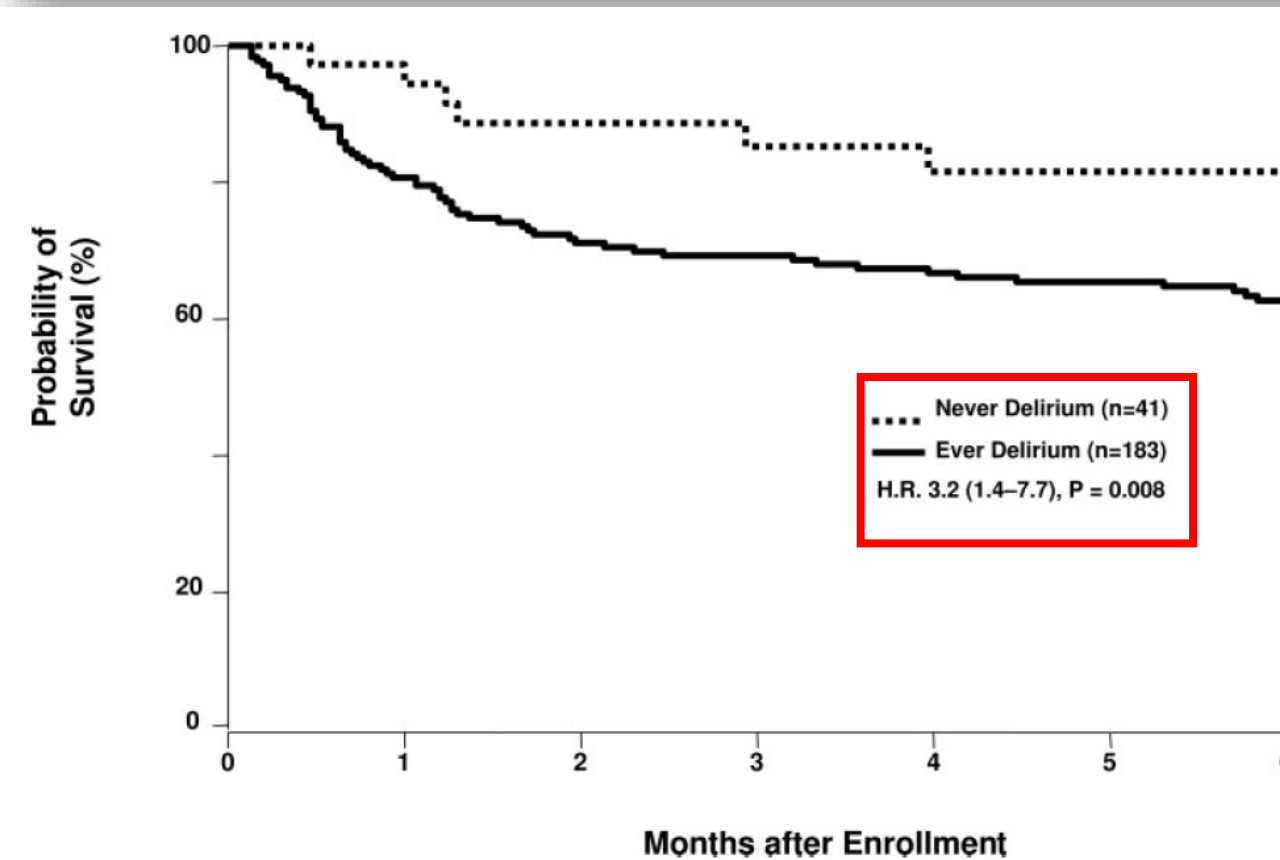


FIGURE 1. Delirium in ICU patients is a risk factor for 6-month mortality. Kaplan-Meier curves of survival to 6 months among ICU patients. Patients with delirium in the ICU had a significant mortality rate than patients without delirium. Used with permission from Ely et al.⁹ H.R. ratio. Data in parenthesis indicate confidence interval.

JAMA. 2004;291:1753-1762

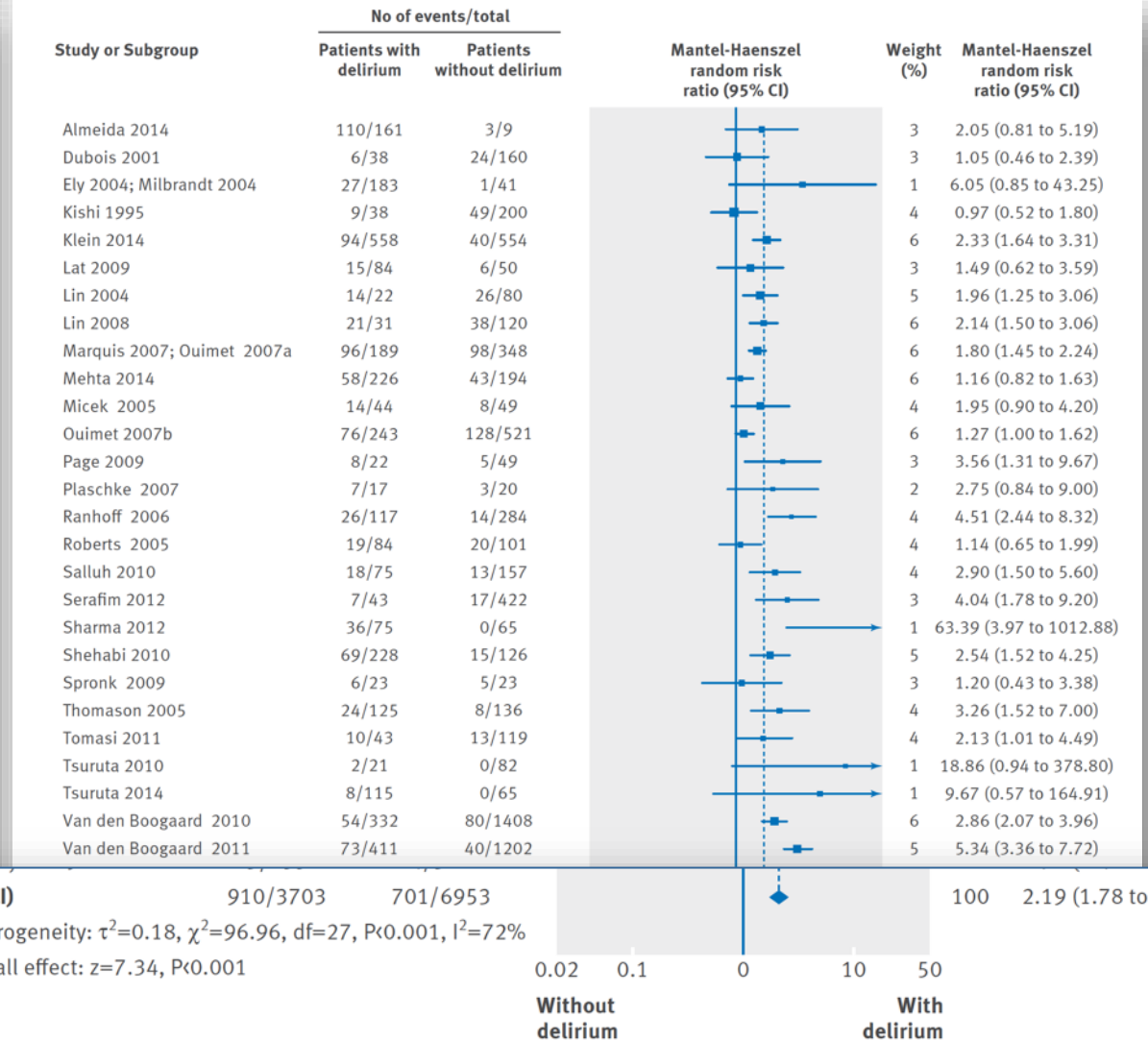
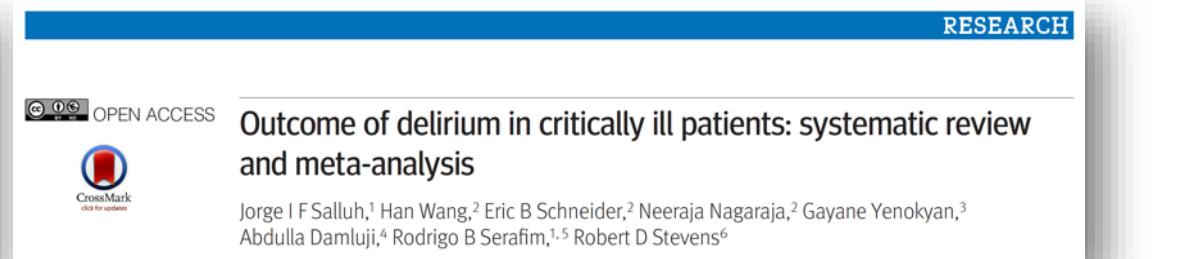
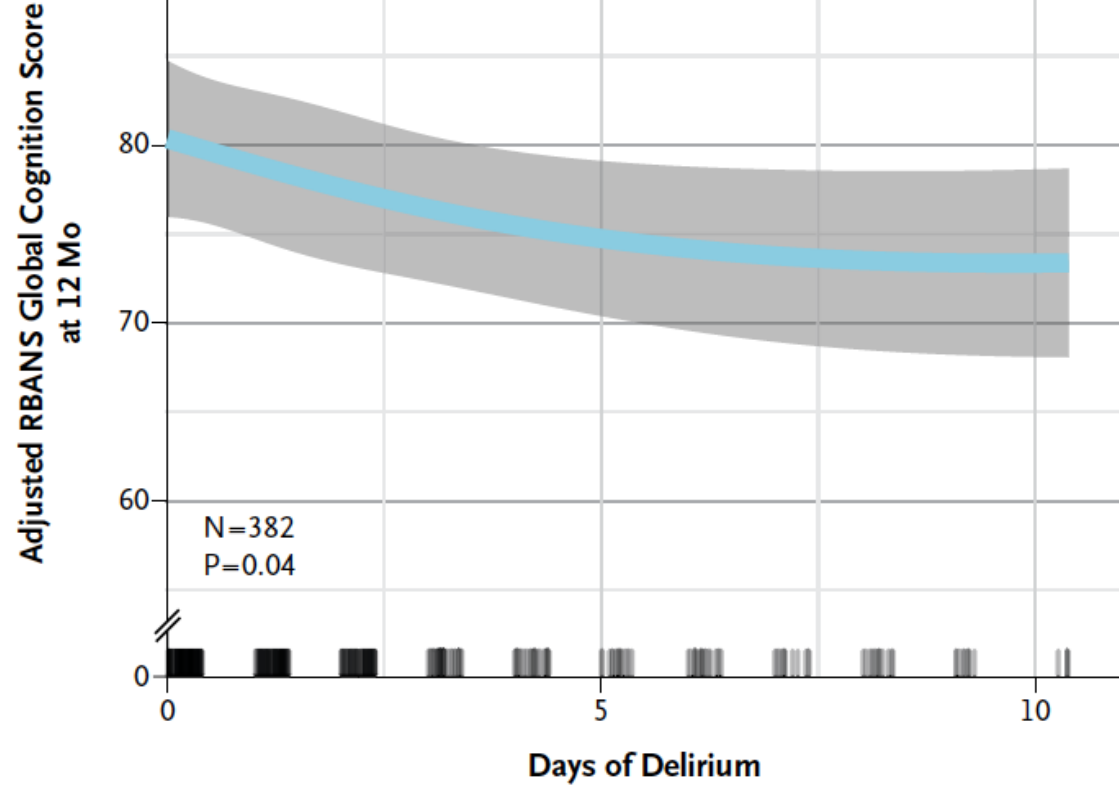


Fig 3 | Impact of delirium on hospital mortality in critically ill patients

Long-Term Cognitive Impairment after Critical Illness



Pandharipande, NEJM 2013

Depression, post-traumatic stress disorder, and functional disability in survivors of critical illness in the BRAIN-ICU study: a longitudinal cohort study

James C Jackson, Pratik P Pandharipande, Timothy D Girard, Nathan E Brummel, Jennifer L Thompson, Christopher G Hughes, Brenda T Pun, Eduard E Vasilevskis, Alessandro Morandi, Ayumi K Shintani, Ramona O Hopkins, Gordon R Bernard, Robert S Dittus, E Wesley Ely, for the Bringing to light the Risk Factors And Incidence of Neuropsychological dysfunction in ICU survivors (BRAIN-ICU) study investigators

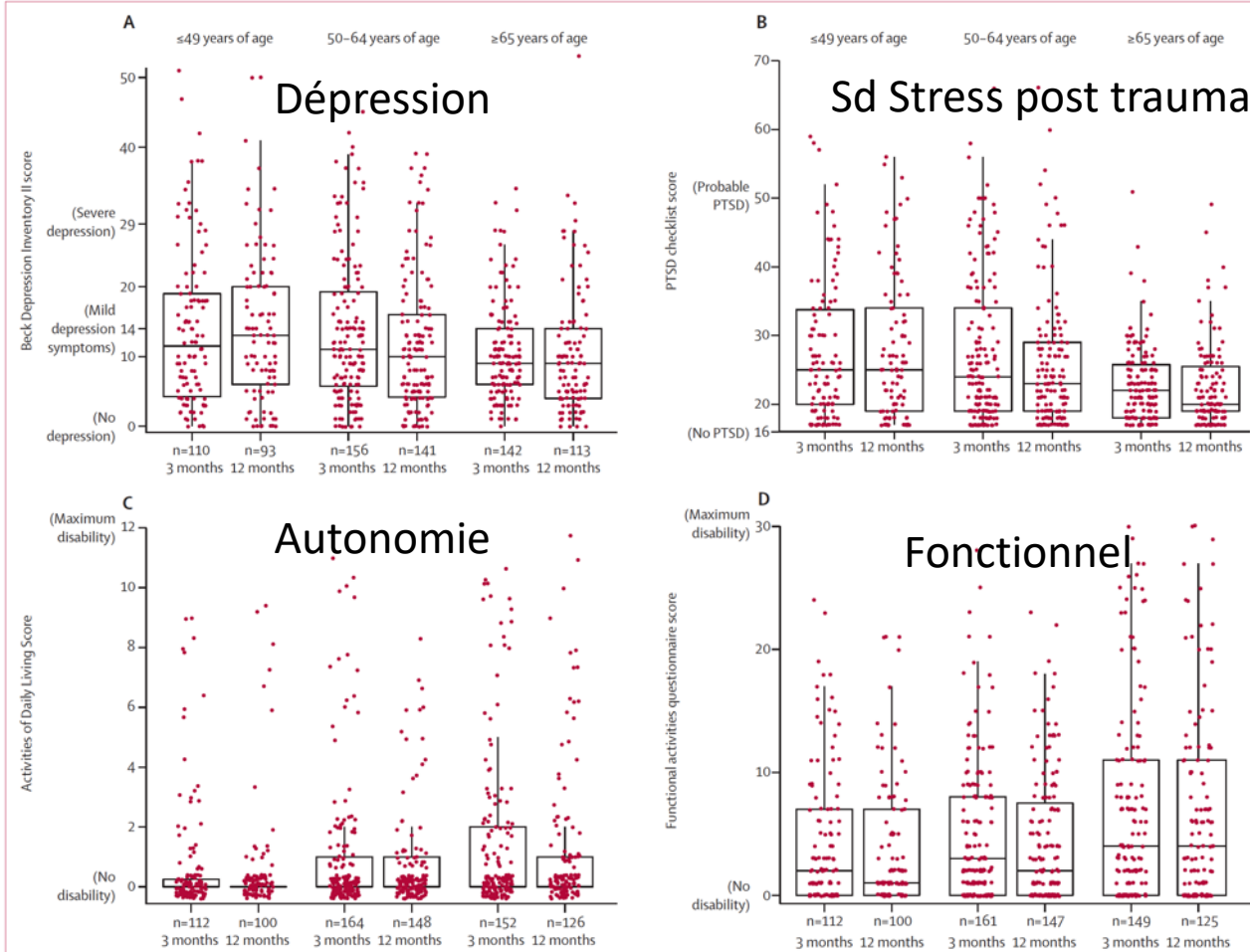


Figure 2: Mental health and functional related scores at 3 months and 12 months, by age

Box plots show median values and IQRs, with vertical lines showing upper and lower values and dots showing outliers. In all cases, highest scores reflect greatest abnormalities on the respective tools in question. (A) Beck Depression Inventory II. (B) Post-traumatic stress disorder checklist. (C) Katz activities of daily living. (D) Pfeffer functional activities questionnaire. We used jittering to prevent overplotting of equivalent points at integer values. PTSD=post-traumatic stress disorder.

Lancet Respiratory medicine 2014

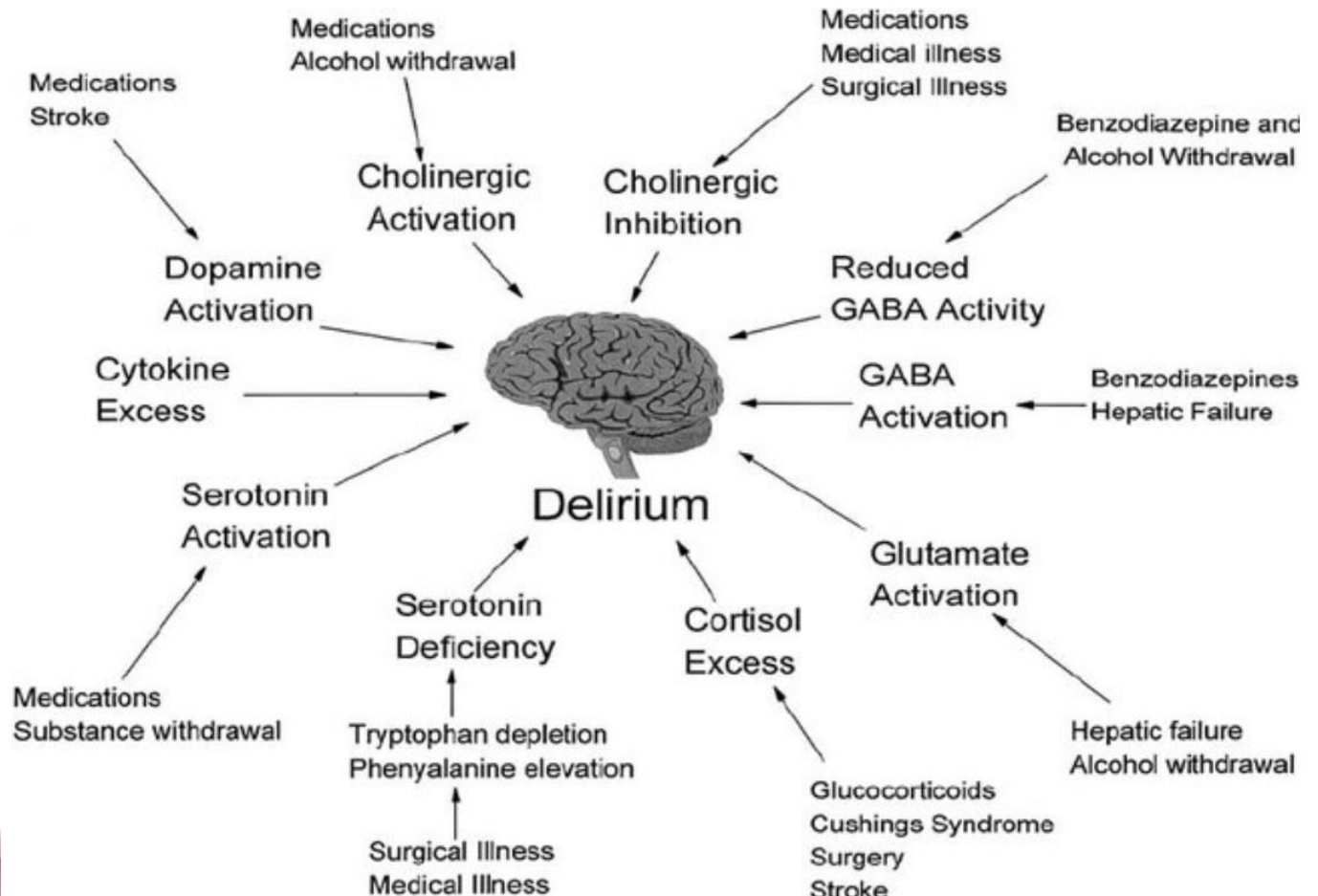
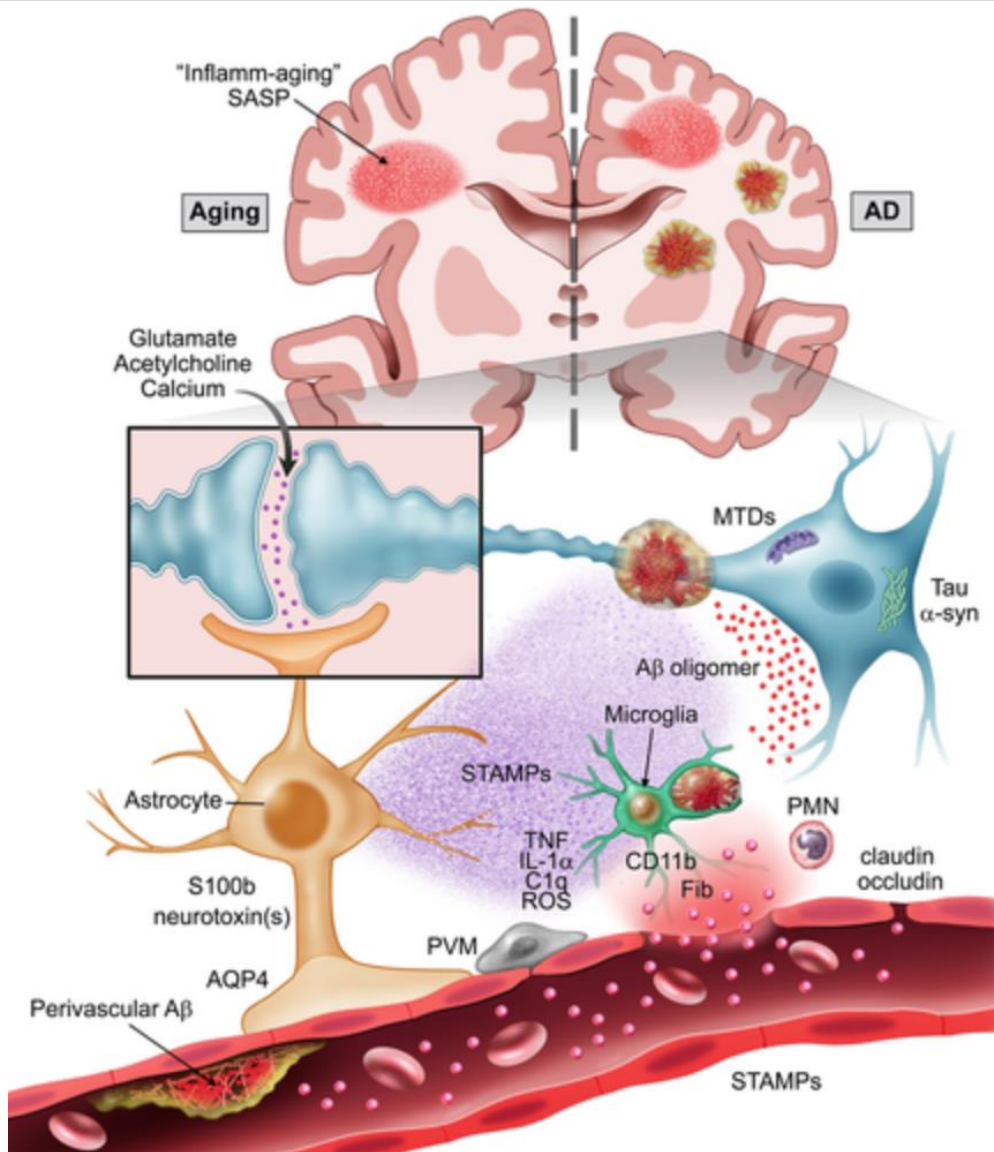
Conséquences du delirium

↗ Mortalité

↗ Morbidité

- ↗ Durée d'hospitalisation
- ↗ Troubles cognitifs à distance / dépendance
- ↗ État intermédiaire anxiété/stress = trauma / PTSD

Mécanismes



Marcantonio et al. 2006
Wang et al. 2020

Mécanismes

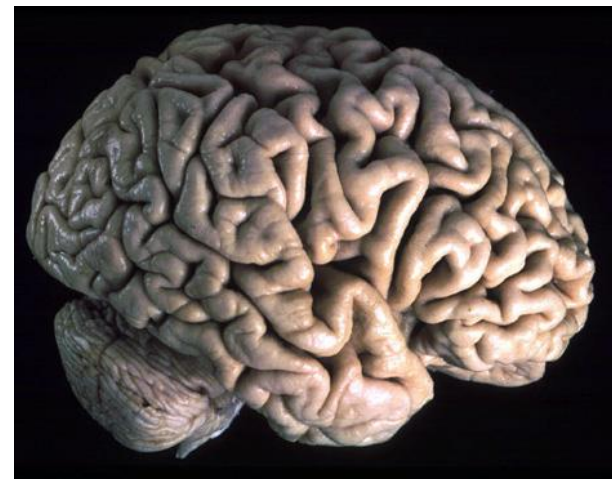
Agression aigue

(sepsis, trauma, chirurgie en urgence...)

Facteurs iatrogéniques
(sédation, contention.....)

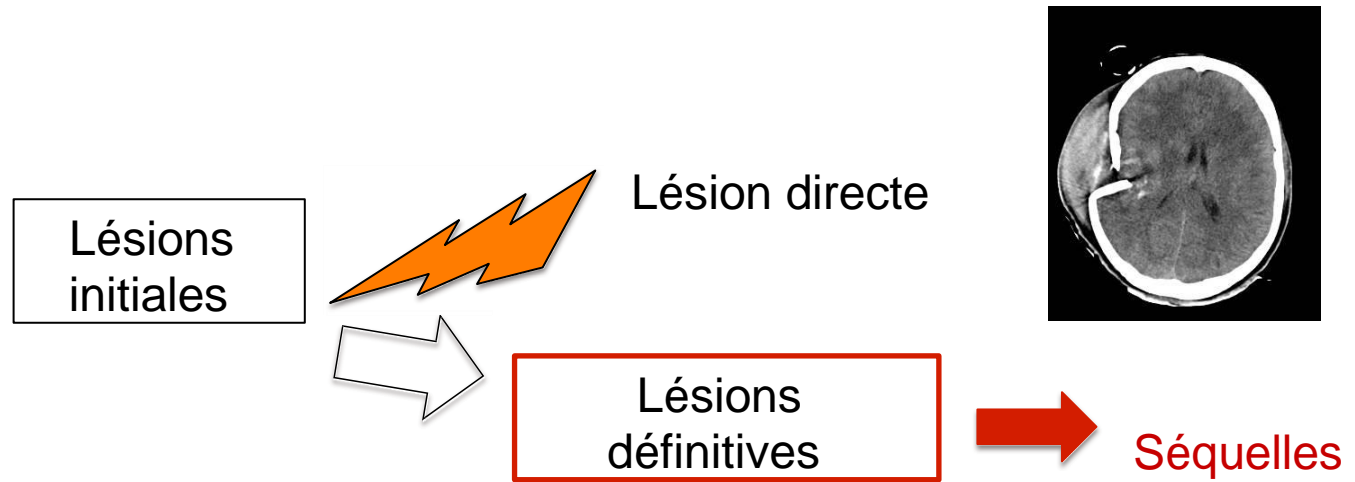
Facteurs environnementaux
(lumière, bruit.....)

Delirium
(multifactoriel)

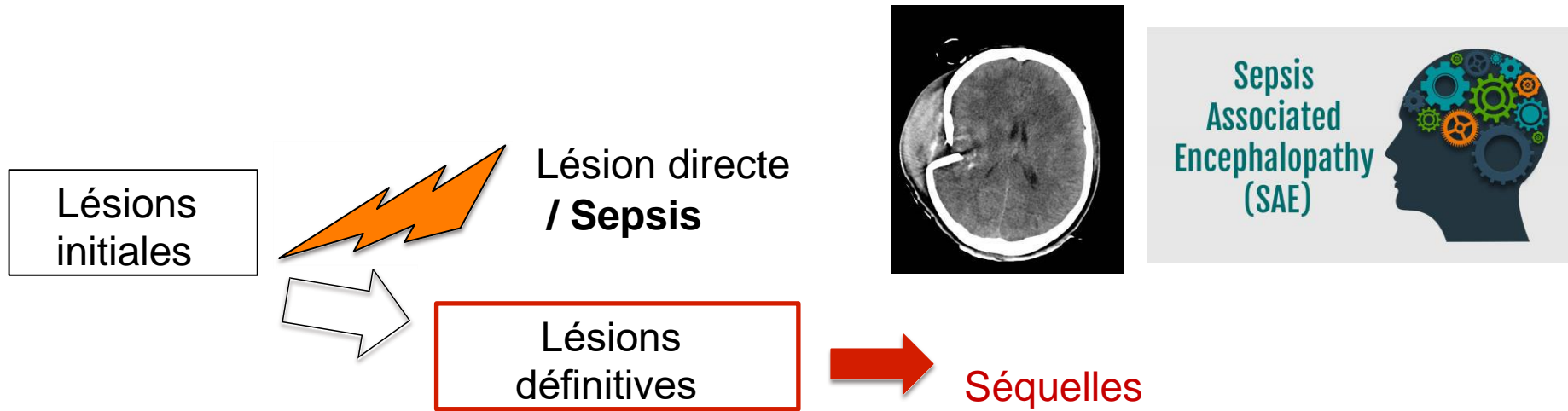


Facteurs prédisposants

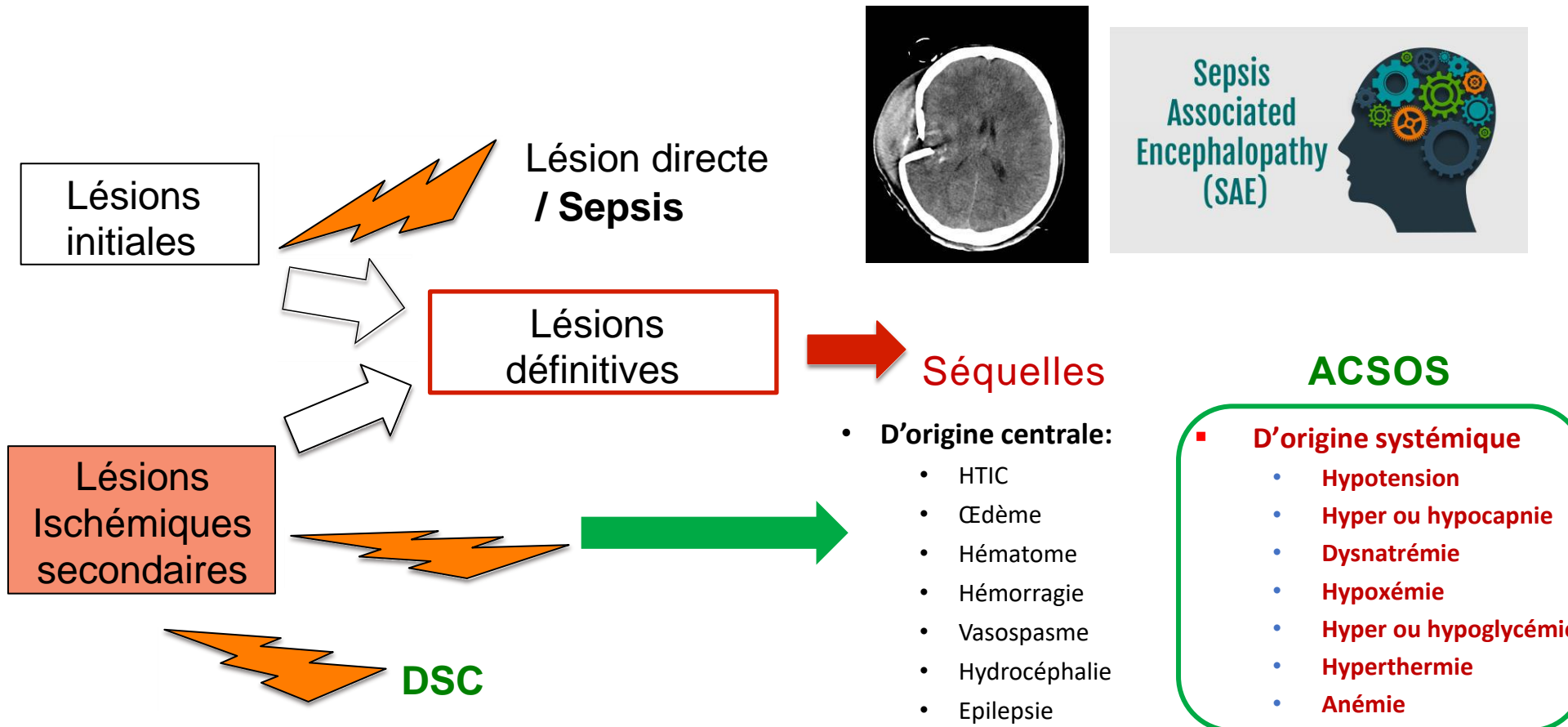
Agression cérébrale initiale

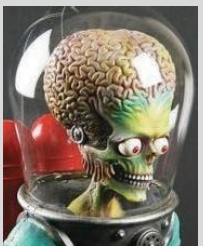


Agression cérébrale initiale

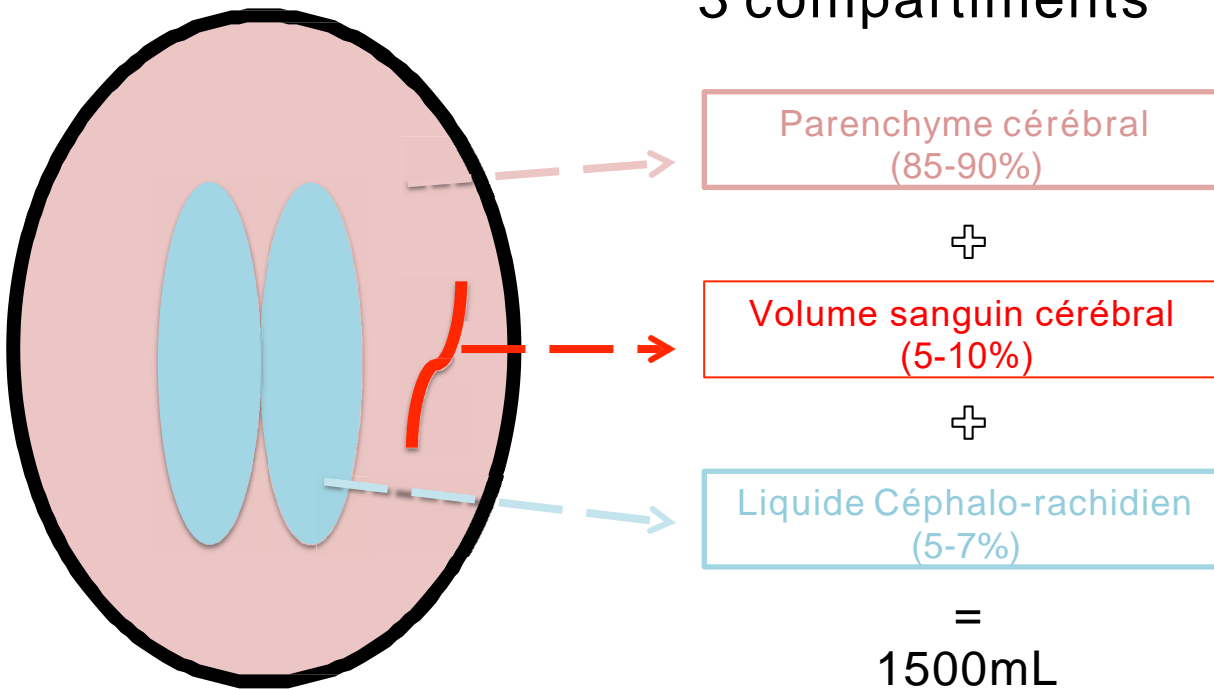


Agressions cérébrales





Pression intracrânienne



- Augmentation de VOLUME



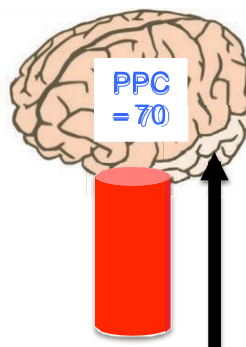
- Augmentation de PRESSION

Hypertension intracrânienne

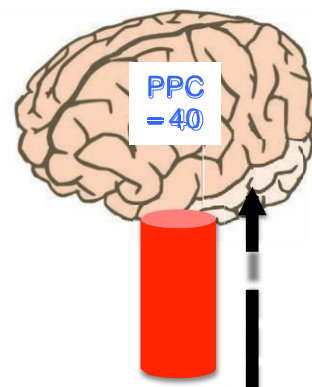
PPC = Pression de Perfusion Cérébrale

$$\text{PPC} = \text{PAM} - \text{PIC} = 50 - 70 \text{ mmHg}$$

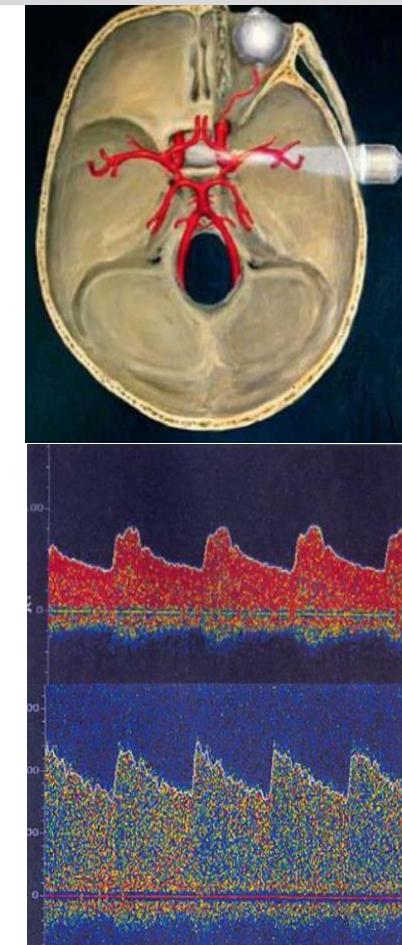
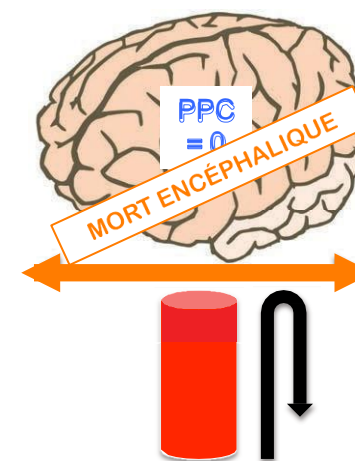
PIC = 10mmHg



PIC = 40mmHg



PIC = 80mmHg



Cook et al. Neurocrit Care 2020

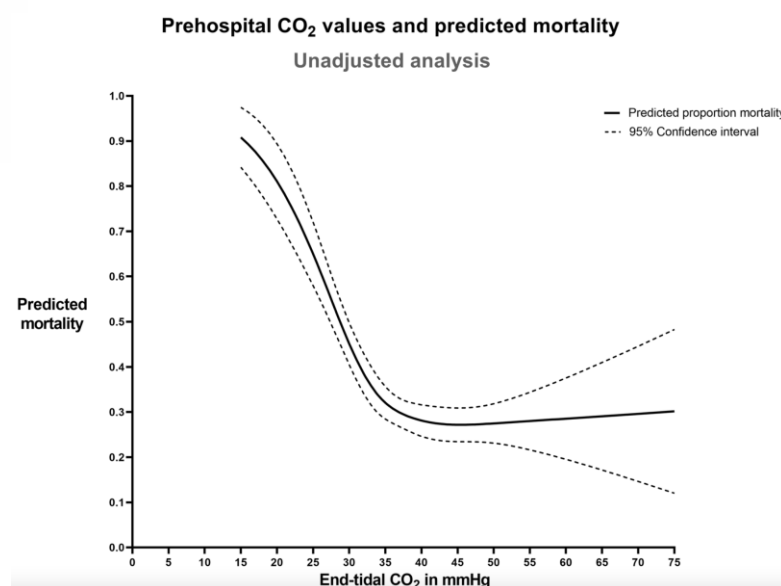
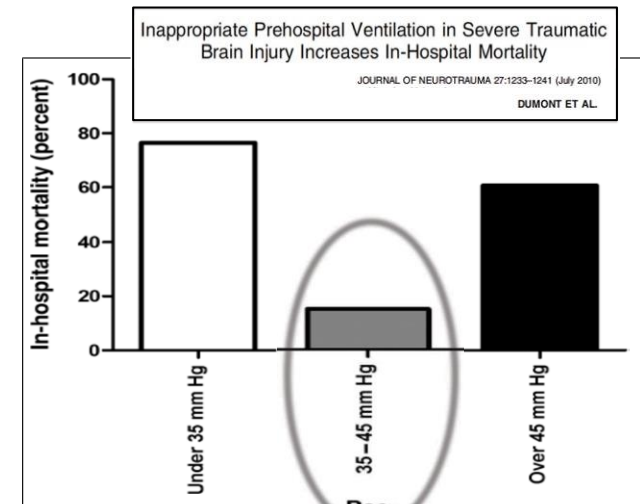
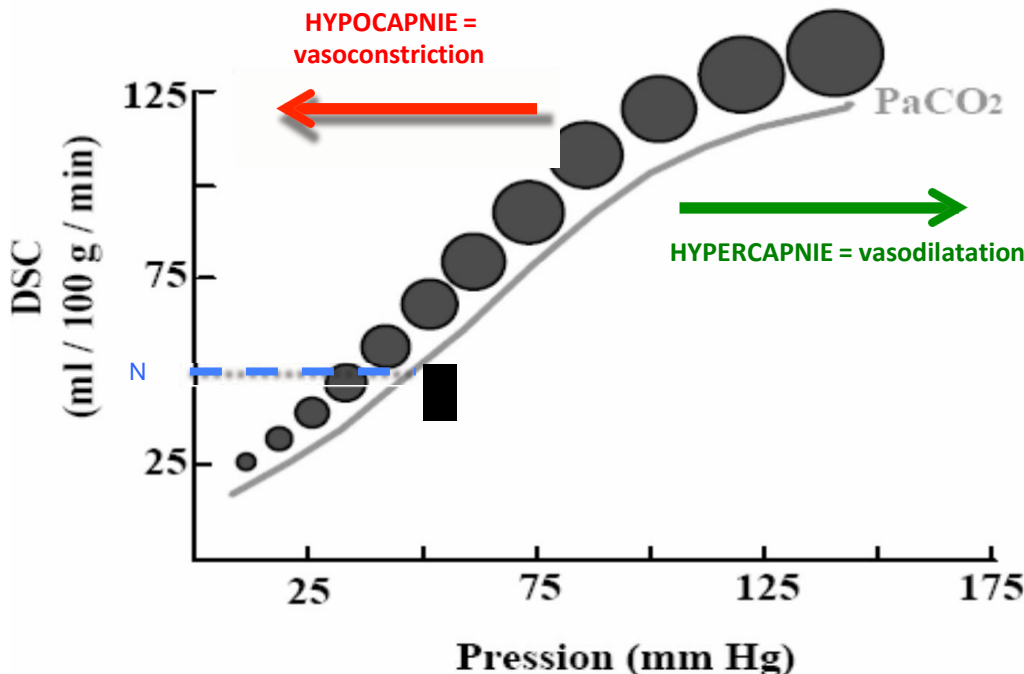
Lamontagne et al. ICM 2016 & JAMA 2020

Sarkar et al. JCMR, 2022

Agressions cérébrales secondaires

- D'origine centrale:
 - HTIC
 - œdème
 - Hématome
 - Hémorragie
 - Vasospasme
 - Hydrocéphalie
 - Epilepsie
- D'origine systémique
 - Hypotension
 - Hyper ou hypocapnie
 - Dysnatrémie
 - Hypoxémie
 - Hyper ou hypoglycémie
 - Hyperthermie
 - Anémie

Capnie et débit sanguin cérébral (DSC)

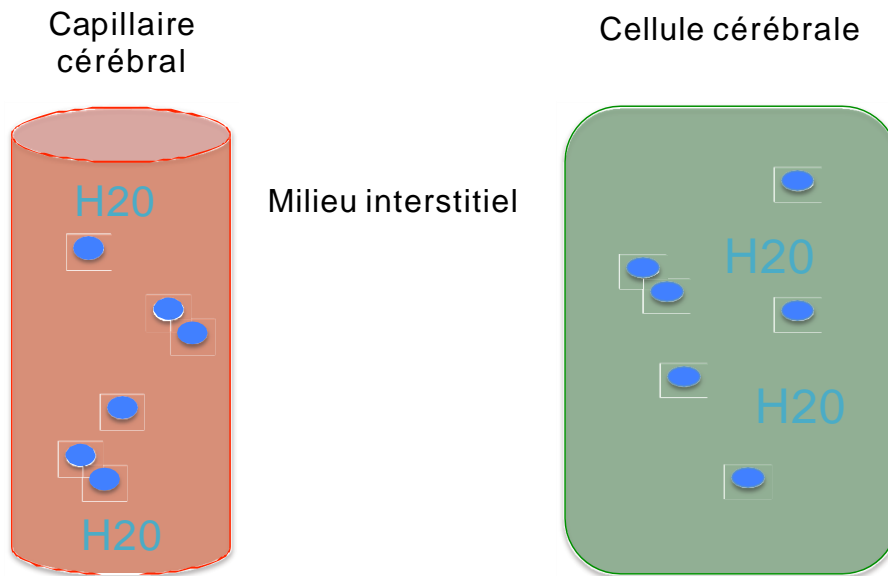


Bossers et al. ICM, 2023
Luo et al. Plos One, 2023
Cai et al. Neurocrit care, 2021

Agressions cérébrales secondaires

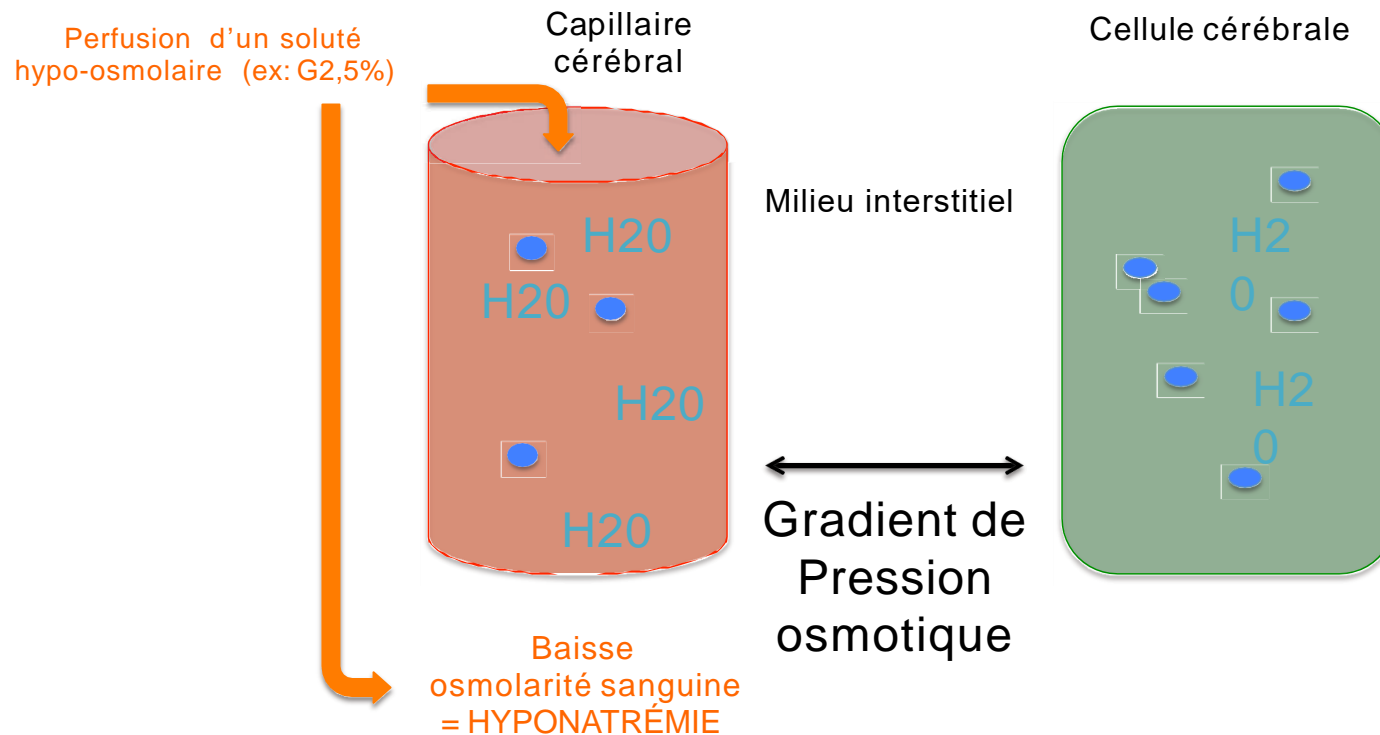
- D'origine centrale:
 - HTIC
 - œdème
 - Hématome
 - Hémorragie
 - Vasospasme
 - Hydrocéphalie
 - Epilepsie
- D'origine systémique
 - Hypotension
 - Hyper ou **hypocapnie**
 - Dysnatrémie
 - Hypoxémie
 - Hyper ou hypoglycémie
 - Hyperthermie
 - Anémie

Natrémie

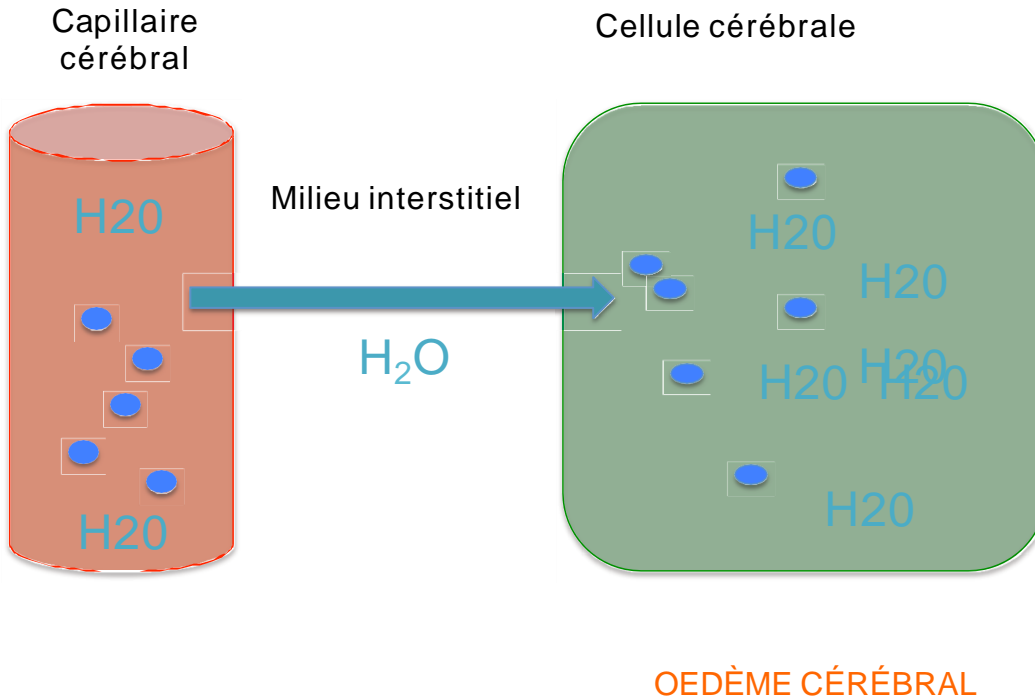
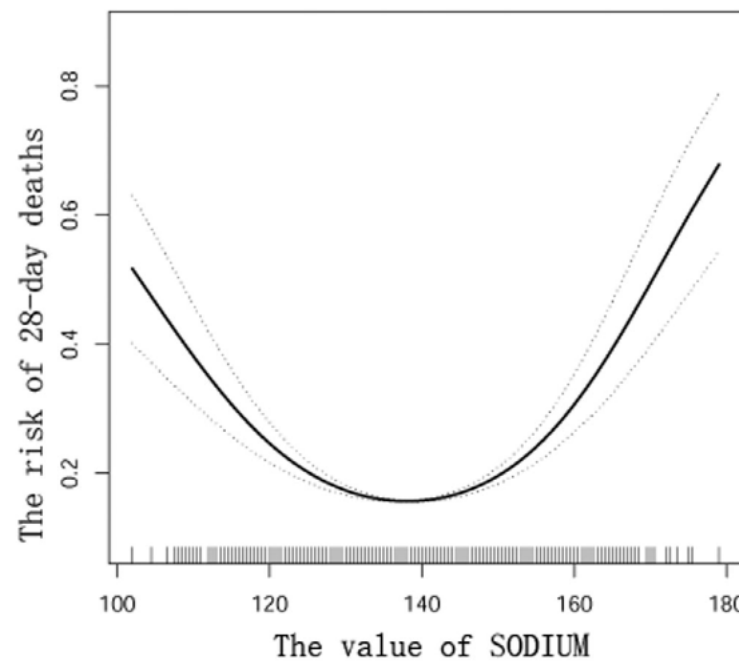


Osmolarité sanguine = $2\text{Na} + \text{Urée} + \text{Glucose} =$
290-295mosmols/L

Natrémie



Natrémie



Chand et al. Curr Opin Nephrol Hypertens 2021
Castello et al. Eur J Intern Med 2021
Li et al. Ther Apher Dial 2023

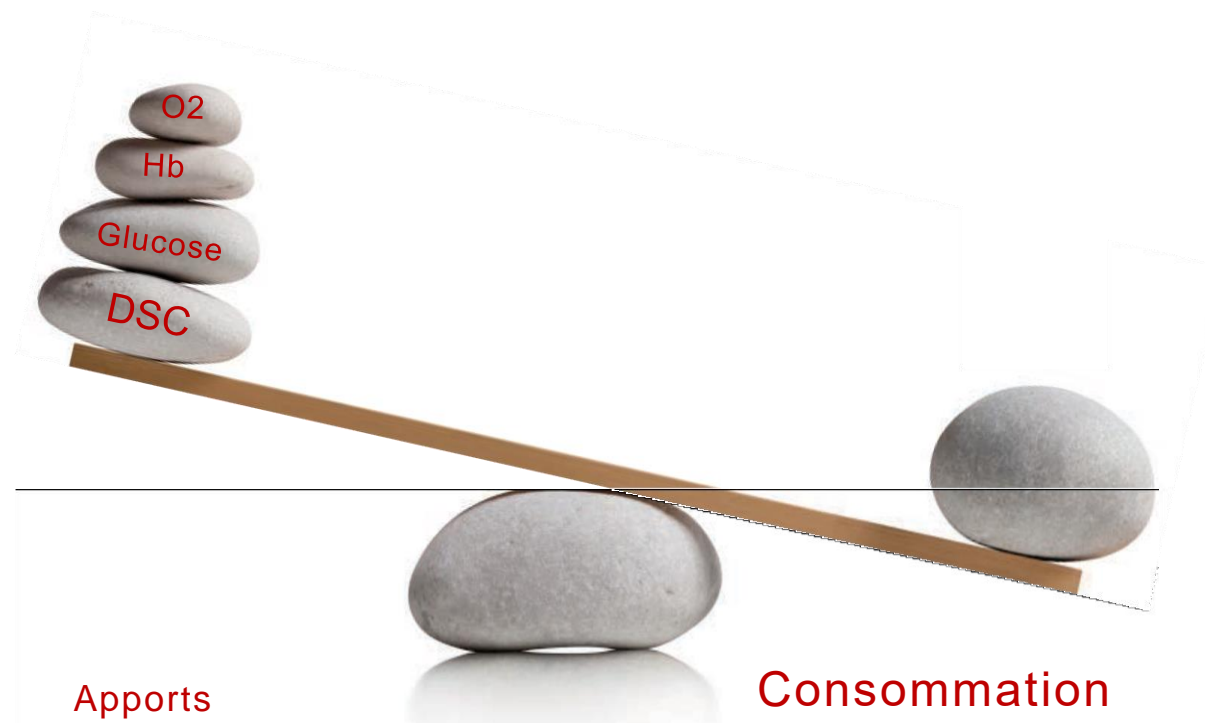
Agressions secondaires

- D'origine centrale:
 - HTIC
 - œdème
 - Hématome
 - Hémorragie
 - Vasospasme
 - Hydrocéphalie
 - Epilepsie
- D'origine systémique
 - Hypotension
 - Hyper ou hypocapnie
 - Dysnatrémie
 - Hypoxémie
 - Hyper ou hypoglycémie
 - Hyperthermie
 - Anémie

Métabolisme cérébral



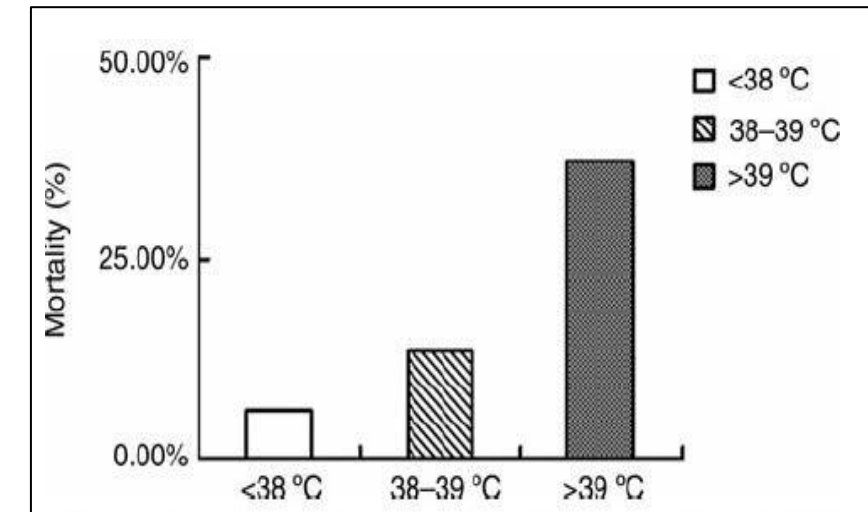
Métabolisme cérébral



Chinese Head Trauma Data Bank: Effect of Hyperthermia on the Outcome of Acute Head Trauma Patients

JOURNAL OF NEUROTRAUMA 29:96–100 (January 1, 2012)

Jin Li and Ji-yao Jiang



Variation de la température centrale de 1°C
→ consommation cérébrale en O₂ +/- 8%

Young et al. ICU-ROX study, ICM, 2020 & Asfar et al. ICM, 2015
Raasveld et al. InPUT study JAMA 2023
Jacobi et al. Insuline guidelines CCM, 2012

Shortgen et al. ICM 2012 & 2015
Saxena et al. ICM 2015
Doman et al. Front. Med., 2023

Agressions secondaires

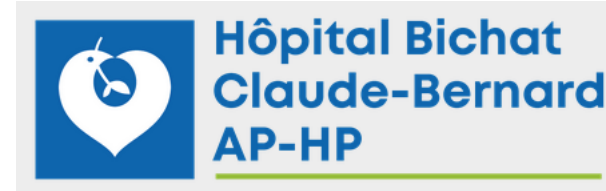
- D'origine centrale:
 - HTIC
 - œdème
 - Hématome
 - Hémorragie
 - Vasospasme
 - Hydrocéphalie
 - Epilepsie
- D'origine systémique
 - Hypotension
 - Hyper ou hypocapnie
 - Dysnatrémie
 - Hypoxémie
 - Hyper ou hypoglycémie
 - Hyperthermie
 - Anémie

Etude



Impact des ACSOS sur le pronostic des patients en réanimation atteints d'encéphalopathie associée au sepsis

M. Thy, R. Sonneville, S. Ruckly,
B. Mourvillier, C. Schwebel, Y. Cohen, M. Garrouste-Orgeas, S. Siami, C. Bruel, J. Reignier,
E. Azoulay, L. Argaud, D. Goldgran-Toledano, V. Laurent, C. Dupuis, J. Poujade,
L. Bouadma, E. de Montmollin, J-F. Timsit



Introduction

ORIGINAL

Potentially modifiable factors contributing to sepsis-associated encephalopathy



Romain Sonneville^{1,2*}, Etienne de Montmollin^{3,4}, Julien Poujade¹, Maïté Garrouste-Orgeas^{3,5}, Bertrand Souweine⁶, Michael Darmon^{8,9}, Eric Mariotte⁷, Laurent Argaud¹⁰, François Barbier¹¹, Dany Goldgran-Toledano¹², Guillaume Marcotte¹³, Anne-Sylvie Dumenil¹⁴, Samir Jamali¹⁵, Guillaume Lacave¹⁶, Stéphane Ruckly³, Bruno Mourvillier^{1,3} and Jean-François Timsit^{1,3}



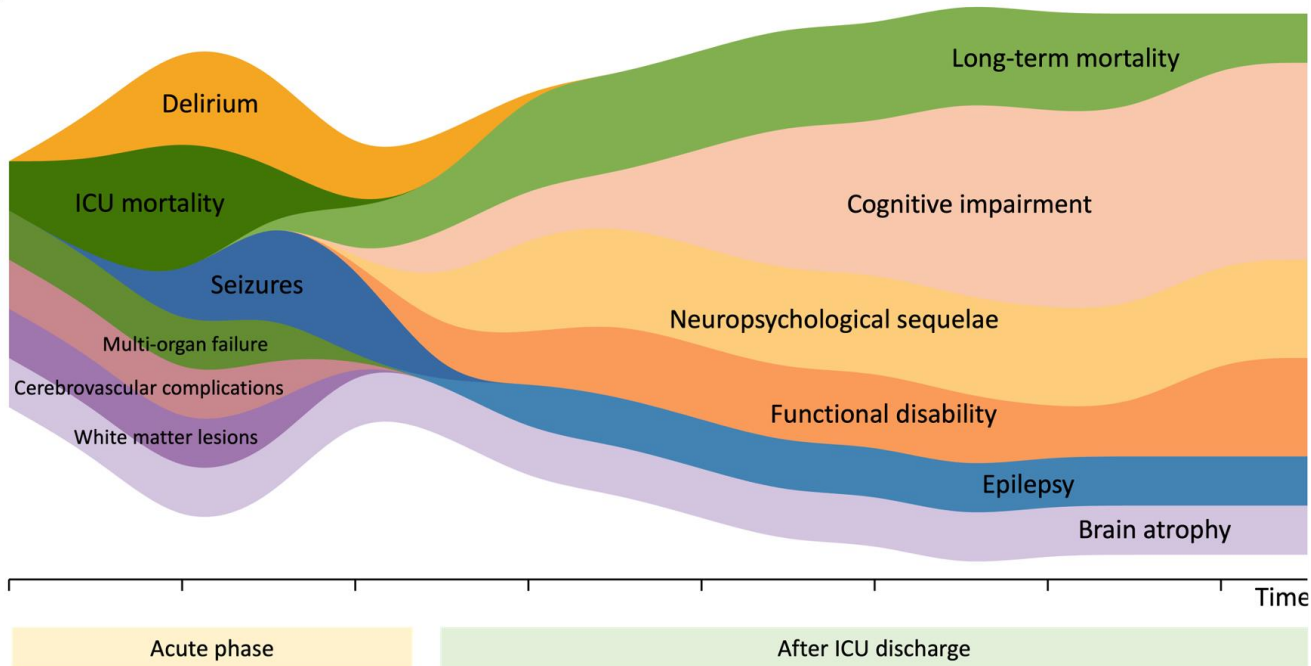
Incidence ~50%	GCS 15 + Delirium : 251/1341 (19%)
Coma → Delirium	GCS 13–14 : 308/1341 (23%)
	GCS 9–12 : 241/1341 (18%)
	GCS 3–8 : 541/1341 (40%)

Table 3 Multivariate analysis of factors associated with sepsis-associated encephalopathy

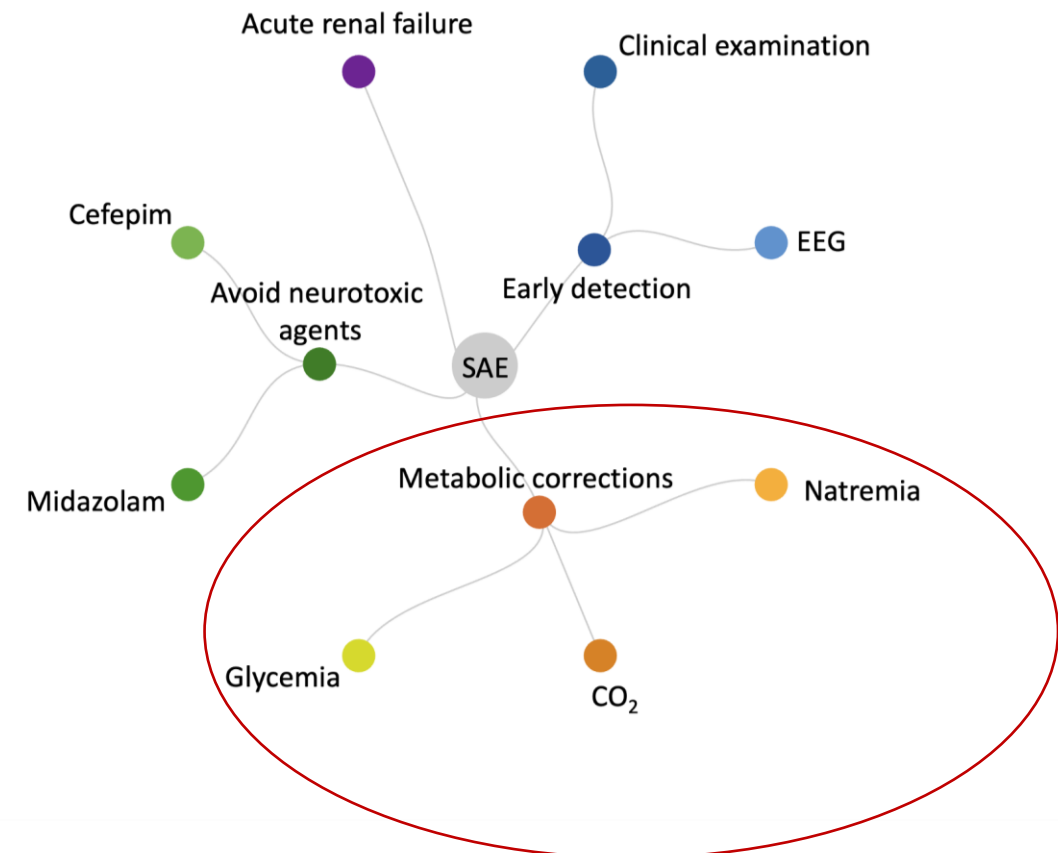
Variable	OR	95% CI	p value
Age, per 1-year increment	1.02	1.01 – 1.02	<0.01
Chronic alcohol abuse	3.38	2.34 – 4.89	<0.01
History of neurological disease	1.56	1.18 – 2.06	<0.01
Pre-existing cognitive impairment	2.25	1.09 – 4.67	0.03
Long-term use of psychoactive drugs	1.37	1.11 – 1.70	<0.01
Medical admission ^a	1.75	1.43 – 2.14	<0.01
Renal SOFA > 2	1.41	1.19 – 1.67	<0.01
Hypoglycemia, <3 mmol/l	2.66	1.27 – 5.59	<0.01
Hyperglycemia, >10 mmol/l	1.37	1.09 – 1.72	<0.01
Hypercapnia, >45 mmHg	1.91	1.53 – 2.38	<0.01
Hypernatremia, >145 mmol/l	2.30	1.48 – 3.57	<0.01
<i>Staphylococcus aureus</i>	1.54	1.05 – 2.25	0.03
Catheter-related infection	0.53	0.32 – 0.88	0.01
Skin and soft tissue infection	0.57	0.39 – 0.82	<0.01

Introduction

A



B



Yende S, et al. Crit Care Med. 2016
Sonneville R, et al. Crit Care. 2023
Sonneville R, et al. ICM 2017

Introduction

L'encéphalopathie associée au sepsis (SAE),
qui est associée de manière indépendante à une **mortalité accrue**,
pourrait être aggravée
par des **agressions cérébrales secondaires d'origine systémique (ACSOS)**,
qui sont fréquemment observées **chez les patients hospitalisés en réanimation**.

Objectif de l'étude

Etudier l'association entre la **présence d'au moins un ACSOS**
dans les 48 premières heures de l'admission en réa **puis leur contrôle à J+3**
sur le devenir des patients atteints de SAE.

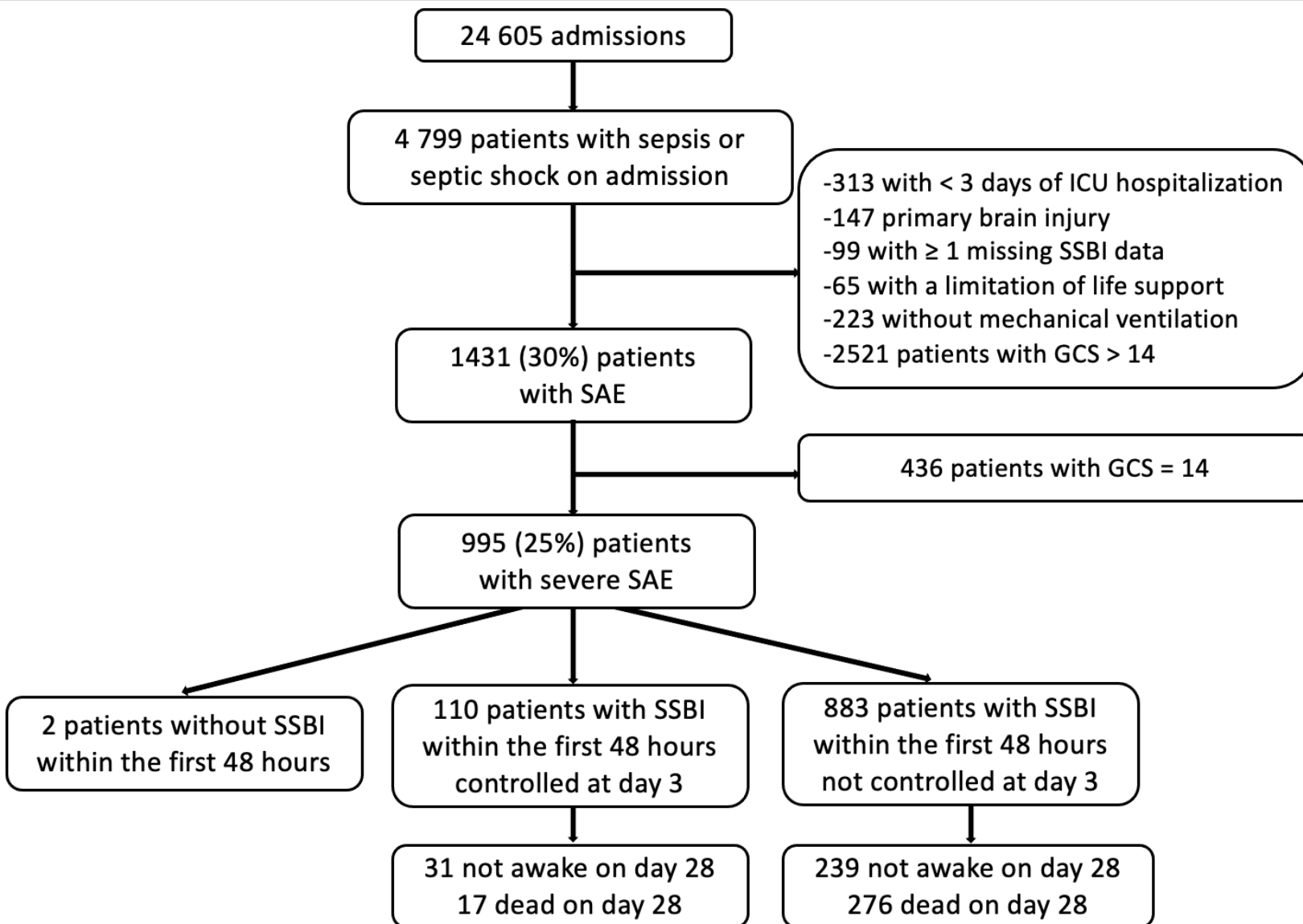
Méthodes

- Analyse rétrospective à partir des données de la base de données prospective multicentrique française OUTCOMEREA.
- Inclusion :
 - patients hospitalisés de façon consécutive **en réanimation**
 - nécessitant une **ventilation mécanique invasive** à l'admission
 - avec critères de **sepsis sévère ou de choc septique** (définition SEPSIS 2.0))
 + **SAE sévère**
(défini par un GCS ≤ 13)
 - **sans lésion cérébrale primaire**
AVC / méningite et encéphalite / atteinte neuromusculaire sévère / traumatisme crânien isolé / état de mal convulsif / traumatisme médullaire / autres pathologie neuromusculaire / EME

Méthodes

- Pour chaque patient, analyse des ACSOS présents **dans les 48 premières heures** de l'admission en réanimation :
 - glycémie anormale ($<3\text{mmol/L}$ ou $\geq 11\text{mmol/L}$),
 - hypotension artérielle (pression artérielle diastolique $\leq 50\text{mmHg}$),
 - anomalies de la température ($<36^\circ\text{C}$ ou $\geq 38.3^\circ\text{C}$),
 - anémie (hématocrite $<21\%$),
 - dysnatrémie ($<135\text{mmol/L}$ ou $\geq 145\text{mmol/L}$),
 - anomalies de l'oxygénation ($\text{PaO}_2 < 60$ ou $> 200\text{mmHg}$),
 - anomalies de la capnie ($<35\text{mmHg}$ ou $\geq 45\text{mmHg}$)
- et l'**impact de leur contrôle à J+3** sur :
 - la **mortalité à J+28** et
 - la **récupération neurologique (réveil)** à J+28 définie comme une récupération d'un GCS >13 .

Résultats : diagramme de flux



Caractéristiques à l'admission en réa

Variable	Total
At ICU admission	n=995
Age, median [IQR]	68 [57.4-77.1]
Male sex, n (%)	636 (63.9)
Comorbidities, n (%)	
Chronic liver disease, n (%)	95 (9.5)
Chronic heart disease, n (%)	194 (19.5)
Chronic respiratory disease, n (%)	150 (15.1)
Chronic kidney disease, n (%)	79 (7.9)
Immunosuppression, n (%)	199 (20)
Alcoholism, n (%)	218 (21.9)
Smoking, n (%)	271 (27.2)
SAPS II, median [IQR]	67 [55-79]
SOFA without neurological, median [IQR]	9 [7-11]
Glasgow score, n (%)	
3-8	649 (65.2)
9-12	267 (26.8)
13	79 (7.9)
Medical admission, n (%)	698 (70.2)
Septic shock, n (%)	963 (96.8)

Source of infection	n (%)
Pneumonia	477 (47.9)
Bacteremia	236 (23.7)
Abdominal infection	164 (16.5)
Urinary infection	98 (9.8)
Surgical site infection	66 (6.6)
Skin infection	35 (3.5)
Catheter related infection	18 (1.8)
Multiple sources	235 (23.6)
Unknown	72 (7.2)

Microbial documentation	N=915
Enterobacteriales	305
Pseudomonas aeruginosa	73
Other non-fermentant	5
Haemophilus	25
Staphylococci aureus	104
Coagulase-negative Staphylococci	35
Enterococci	67
Streptococci	119
Pneumococci	57
Anaerobes	30
Other bacteria	39
Candida sp.	59

Caractéristiques à l'admission en réa & Outcomes à J28

Variable	Total n=995	Mortalité à J28			Réveil à J28		
		Survivors n=599	Non-survivors n=396	p value	No awakening n=584	Awakening n=411	p value
At ICU admission	n=995						
Age, median [IQR]	68 [57.4-77.1]	66.7 [55.4-75.9]	69.8 [60.7-78.7]	<0.001	68.9 [58.8-78]	66.6 [55.8-76.2]	0.038
Male sex, n (%)	636 (63.9)	372 (62.1)	264 (66.7)	0.226	382 (65.4)	254 (61.8)	0.243
Comorbidities, n (%)							
Chronic liver disease, n (%)	95 (9.5)	41 (6.8)	54 (13.6)	<0.001	64 (11)	31 (7.5)	0.073
Chronic heart disease, n (%)	194 (19.5)	101 (16.9)	93 (23.5)	0.001	128 (21.9)	66 (16.1)	0.022
Chronic respiratory disease, n (%)	150 (15.1)	90 (15)	60 (15.2)	0.914	93 (15.9)	57 (13.9)	0.373
Chronic kidney disease, n (%)	79 (7.9)	42 (7)	37 (9.3)	0.131	56 (9.6)	23 (5.6)	0.023
Immunosuppression, n (%)	199 (20)	111 (18.5)	88 (22.2)	0.229	134 (22.9)	65 (15.8)	0.006
Alcoholism, n (%)	218 (21.9)	127 (21.2)	91 (23)	0.602	146 (25)	125 (30.4)	0.059
Smoking, n (%)	271 (27.2)	165 (27.5)	106 (26.8)	0.920	5 (0.9)	9 (2.2)	0.090
SAPS II, median [IQR]	67 [55-79]	63 [52-75]	73 [61-85]	<0.001	72 [59-84]	61 [51-73]	<0.001
SOFA without neurological, median [IQR]	9 [7-11]	10 [8-12]	13 [9-15]	<0.001	12 [9-14]	10 [8-12]	<0.001
Glasgow score, n (%)							0.020
3-8	649 (65.2)	372 (62.1)	277 (69.9)	0.009	401 (68.7)	248 (60.3)	
9-12	267 (26.8)	170 (28.4)	97 (24.5)	0.142	144 (24.7)	123 (29.9)	
13	79 (7.9)	57 (9.5)	22 (5.6)	0.008	39 (6.7)	40 (9.7)	
Medical admission, n (%)	698 (70.2)	401 (66.9)	297 (75)	0.007	433 (74.1)	265 (64.5)	0.001
Septic shock, n (%)	963 (96.8)	577 (96.3)	386 (97.5)	0.472	570 (97.6)	393 (95.6)	0.086

ACSOS dans les 48h

Variable	Total
At ICU admission	n=995
SSBI within the first 48 hours	
Glycemia	
Hypoglycemia (<3mmol/l), n (%)	63 (6.5)
Hyperglycemia (>11mmol/l), n (%)	333 (34.4)
Blood pressure	
Hypotension (DBP<50mmhg), n (%)	803 (80.7)
Temperature	
Hypothermia ($T^{\circ}\text{C} < 36^{\circ}\text{C}$), n (%)	361 (36.3)
Hyperthermia ($T^{\circ}\text{C} \geq 38.3^{\circ}\text{C}$), n (%)	512 (51.5)
Red blood cells	
Hematocrit< 21%, n (%)	175 (17.7)
Natremia	
Hyponatremia (<135mmol/l), n (%)	350 (35.2)
Hypernatremia (>145mmol/l), n (%)	164 (16.5)
Oxygenation	
Hypoxemia ($\text{PaO}_2 < 60\text{mmhg}$), n (%)	126 (12.7)
Hyperoxia ($\text{PaO}_2 > 200\text{mmhg}$), n (%)	201 (20.2)
Capnia	
Hypocapnia ($\text{PaCO}_2 < 35\text{mmhg}$), n (%)	497 (50)
Hypercapnia ($\text{PaCO}_2 > 45\text{mmhg}$), n (%)	325 (32.7)



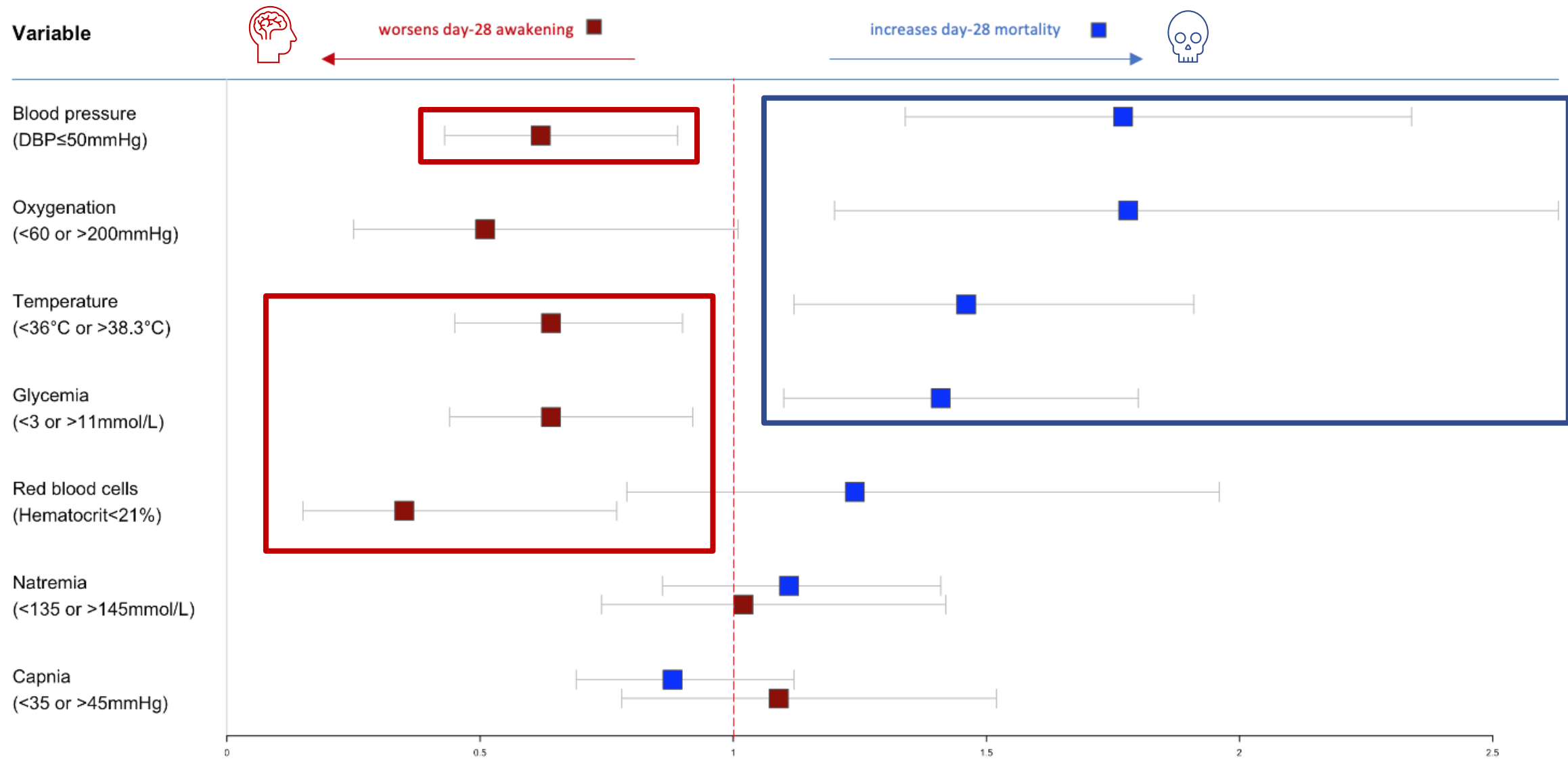
ACSOS dans les 48h

& Outcomes à J28

Variable	Total n=995	Mortalité à J28			Réveil à J28		
		Survivors n=599	Non-survivors n=396	p value*	No awakening n=584	Awakening n=411	p value*
At ICU admission							
SSBI within the first 48 hours							
Glycemia							
Hypoglycemia (<3mmol/l), n (%)	63 (6.5)	23 (4)	40 (10.3)	<0.001	50 (8.8)	13 (3.3)	0.001
Hyperglycemia (>11mmol/l), n (%)	333 (34.4)	199 (34.3)	134 (34.5)	0.969	200 (35.1)	133 (33.3)	0.572
Blood pressure							
Hypotension (DBP<50mmhg), n (%)	803 (80.7)	471 (78.6)	332 (83.8)	0.027	479 (82)	324 (78.8)	0.210
Temperature							
Hypothermia (T°C<36°C), n (%)	361 (36.3)	199 (33.2)	162 (40.9)	0.009	222 (38)	139 (33.8)	0.176
Hyperthermia (T°C ≥38.3°C), n (%)	512 (51.5)	314 (52.4)	198 (50)	0.457	303 (51.9)	209 (50.9)	0.748
Red blood cells							
Hematocrit< 21%, n (%)	175 (17.7)	86 (14.4)	89 (22.6)	0.001	121 (20.8)	54 (13.2)	0.002
Natremia							
Hyponatremia (<135mmol/l), n (%)	350 (35.2)	209 (34.9)	141 (35.6)	0.808	203 (34.8)	147 (35.8)	0.758
Hypernatremia (>145mmol/l), n (%)	164 (16.5)	95 (15.9)	69 (17.4)	0.633	103 (17.7)	61 (14.8)	0.238
Oxygenation							
Hypoxemia (PaO ₂ <60mmhg), n (%)	126 (12.7)	67 (11.2)	59 (14.9)	0.070	76 (13)	50 (12.2)	0.694
Hyperoxia (PaO ₂ >200mmhg), n (%)	201 (20.2)	121 (20.2)	80 (20.2)	0.655	113 (19.3)	88 (21.4)	0.425
Capnia							
Hypocapnia (PaCO ₂ <35mmhg), n (%)	497 (50)	309 (51.7)	188 (47.5)	0.060	182 (31.2)	133 (32.4)	0.689
Hypercapnia (PaCO ₂ >45mmhg), n (%)	325 (32.7)	197 (32.9)	128 (32.3)	0.764	284 (48.7)	213 (51.8)	0.932

Analyse multivariée

(ajustement sur SOFA non neurologique/
motif d'admission/pathologie hépatique)



Forces & Limites

ACSOS = 89% des cas

Impact sur mortalité = O₂ / TA / T°C / glycémie
et réveil à J28 = anémie / TA / T°C / glycémie

CO₂ & Na+ → Pas d'impact retrouvé
1 mesure par jour

Facteurs de risque de SAE # Facteurs de morbi-mortalité si SAE
SAE sévère uniquement
ACSOS et SAE initiaux uniquement
Autres causes (médicamenteuses par ex)

Conclusion

L'absence de contrôle de plusieurs ACSOS dans les 3 premiers jours de l'admission en réa est associée à :

- une augmentation de la mortalité et
- à une diminution des chances de récupération neurologique

chez les patients avec une encéphalopathie septique.

Questions ?

Merci pour votre attention !

michael.thy@aphp.fr



Assess, prevent & manage pain

- CPOT or BPS to assess pain, insure adequate pain control
- Use of regional anesthesia and nonopioid adjuncts
- Analgesia-based sedation techniques with fentanyl



Both SAT & SBT

- Daily linked SAT and SBT
- Multidisciplinary coordination of care
- Faster liberation from MV



Choice of sedation

- Targeted light sedation when sedation necessary
- Avoidance of benzodiazepines
- Dexmedetomidine if high delirium risk, cardiac surgery, MV weaning



Delirium monitoring & management

- Routine CAM-ICU or ICDSC assessments
- Nonpharmacologic intervention, including sleep hygiene
- Dexmedetomidine or antipsychotic if hyperactive symptoms



Early mobility & exercise

- Physical and occupational therapy assessment
- Coordinate activity with SAT or periods of no sedation
- Progress through range of motion, sitting, standing, walking, ADLs



Family engagement & empowerment

- Reorientation, provision of emotional and verbal support
- Cognitive stimulation, participation in mobilization
- Participation in multidisciplinary rounds

- évaluation et prise en charge de la douleur (*asses, prevent and manage pain*) ;

- coordination du sevrage respiratoire et du réveil (*both spontaneous awakening trials and spontaneous breathing trial*) ;

- gestion de la sédation et de l'analgésie (*choice of analgesia and sedation*) ;

- évaluation, prévention et prise en charge du delirium (*delirium: assess, prevent and manage*) ;

- mobilisation précoce (*early mobility and exercise*) ;

- implication et participation des familles (*family engagement and empowerment*).

Traitemen~~t~~ement étiologique du delirium ?

- Fécalome ? Globe vésical ? Douleur ?
- Troubles métaboliques ?

(glycémie, Na, Ca²⁺, vitamine B1.....)

- Bas débit cérébral ?

- Neurotoxicité ?

sédatifs, analgésiques

antibiotiques, anticholinergiques

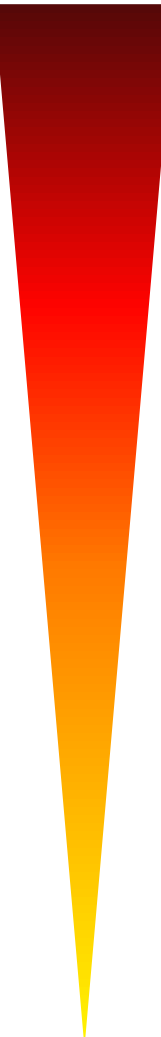
corticoïdes

- Contrôle de la source de l'infection ?

- Sd de sevrage ?

- Lésion structurelle ? => Imagerie

- Etat de mal non convulsif ? => EEG



- Hypoxemia / hypercarbia
- Hypoglycemia / hyperglycemia
- Hypotension and hypoperfusion
- Dehydration
- Electrolyte disturbance (sodium, calcium, magnesium, phosphorus)
- Infection / Sepsis (pneumonia, urinary tract infection)
- Alcohol and drug toxicity or withdrawal
- Medication / Vitamin deficiencies (Wernicke's)
- CNS lesion, injury, infection (CVA, subdural hematoma, meningitis, encephalitis)
- Endocrinopathies (thyroid, adrenal)
- Cardiac disease (myocardial infarction, congestive heart failure, arrhythmia)
- Hyperthermia or hypothermia

Dexmedetomidine for prevention of delirium in elderly patients after non-cardiac surgery: a randomised, double-blind, placebo-controlled trial



Xian Su, Zhao-Ting Meng, Xin-Hai Wu, Fan Cui, Hong-Liang Li, Dong-Xin Wang, Xi Zhu, Sai-Nan Zhu, Mervyn Maze, Daqing Ma

Patients aged 65 years or older, who were admitted to ICUs after non-cardiac surgery
DEX 0·1 µg/kg per h, from ICU admission on the day of surgery until 08:00 h on postoperative day 1

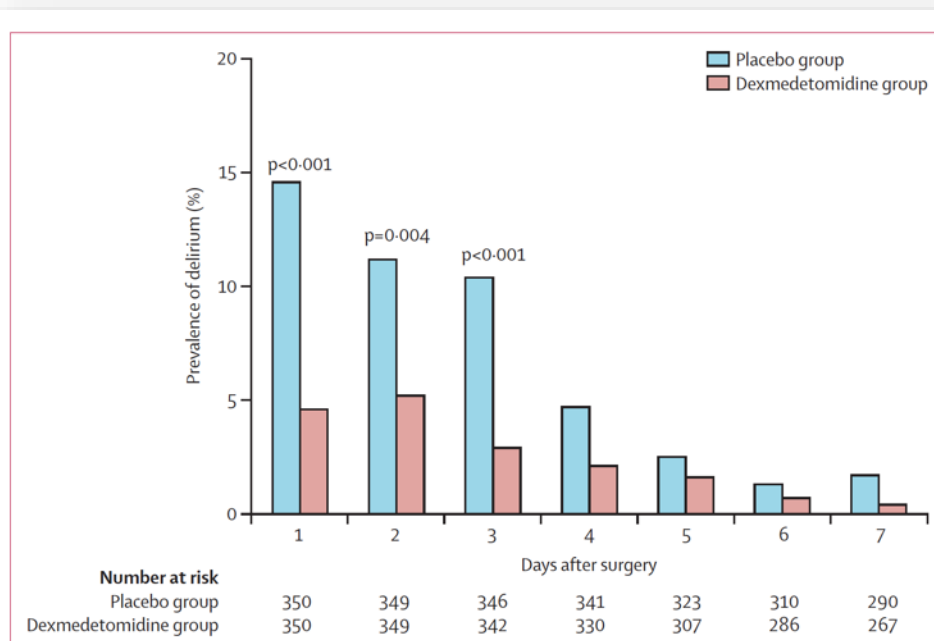


Figure 2: Daily prevalence of postoperative delirium

Sample sizes differ from the first to seventh day because some patients were discharged from hospital or died during this period.

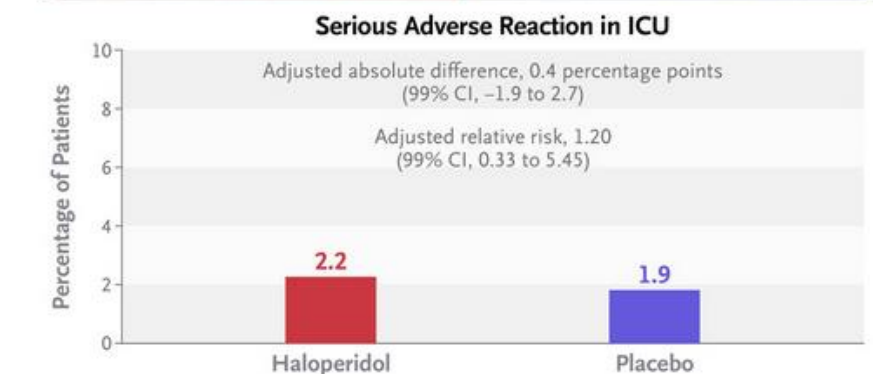
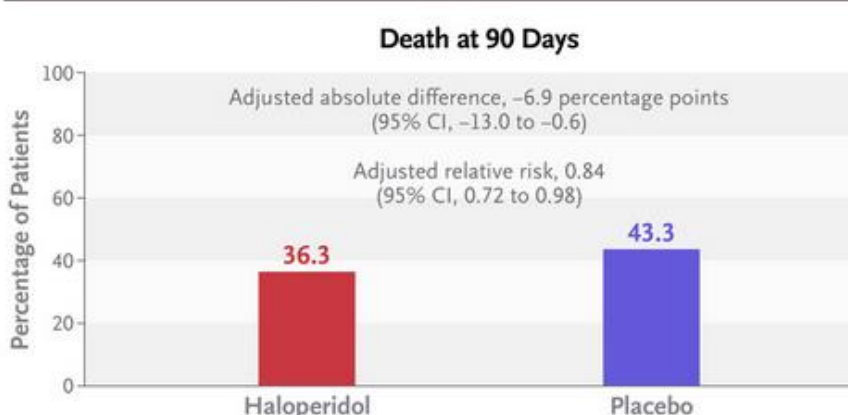
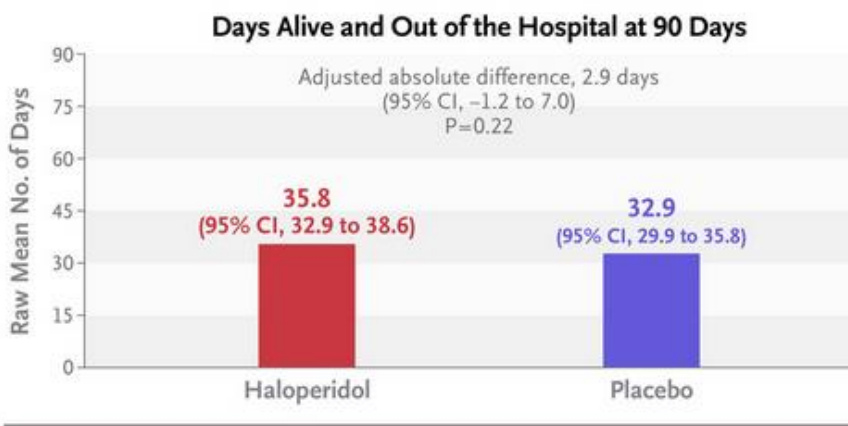
2016



12/2022

Haloperidol for the Treatment of Delirium in ICU Patients

Nina C. Andersen-Ranberg, M.D., Lone M. Poulsen, M.D., Anders Perner, Ph.D., Jørn Wetterslev, Ph.D., Stine Estrup, Ph.D., Johanna Hästbacka, Ph.D., Matt Morgan, Ph.D., Giuseppe Citerio, Ph.D., Jesus Caballero, M.D., Theis Lange, Ph.D., Maj-Brit N. Kjær, M.Sc., Bjørn H. Ebdrup, Ph.D., *et al.*, for the AID-ICU Trial Group*



Messages-clé

- **Prévention**
 - ABCDEF
- **Dépistage**
 - Echelles spécifiques de Delirium
- **Accompagnement**
 - Pluridisciplinaire
- **Traitemen**t
 - Non médicamenteux
 - Médicamenteux

Formation spécifique ?